有機伝導体 λ -(BEDT-TSF)₂Fe_xGa_{1-x}Cl₄の低温磁化特性

東北大学大学院理学研究科物理学専攻佐藤

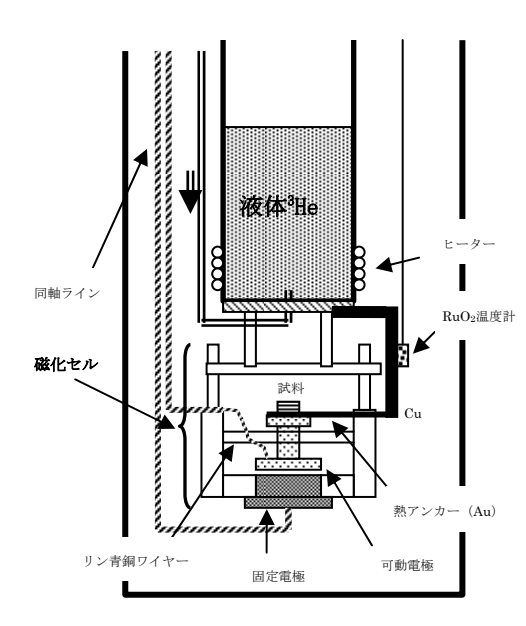
[はじめに] 有機伝導体 λ -(BEDT-TSF) $_2$ FeCl $_4$ は、対アニオンに局在 3dスピンを持ち、低温まで磁性と電気伝導性が共存する初めての分子磁性金属である。結晶構造は三斜晶系(Pn の構造でe軸を長軸とした針状結晶である。BEDT-TSFがドナー、FeCl $_4$ がアクセプターとなって電荷移動錯体を作り、ac面を伝導面とした準二次元 π 電子系を構成する。BEDT-TSFには2分子当たり1個のホールが生成し、伝導性を担う。電気抵抗は約100K以下で金属的な振舞を示し、 T_{MI} =8.3Kで反強磁性秩序を伴って絶縁体に転移する。 Fe^{3+} イオンを非磁性の Ga^{3+} イオンに置換した系では低温で超伝導になることから、 λ -(BEDT-TSF) $_2$ FeCl $_4$ の金属・絶縁体転移には π 電子と3d電子の相関が関与しているのではないかと考えられている。さらにこの物質は18T以上の高磁場中で超伝導が誘起され、3accarino - Peter効果に

よって説明されている。 Fe^{3+} イオンを部分的に Ga^{3+} イオンに置換した混晶系 λ - $(BEDT-TSF)_2Fe_xGa_{1-x}Cl_4$ は0.35<x<0.5の範囲で、磁場や温度の変化によって金属、超伝導、絶縁体の間を転移するとされているが、混晶系の磁気相図はまだ確立されていない。

[目的] 混晶系 λ -(BEDT-TSF) $_2$ Fe $_x$ Ga1- $_x$ Cl4の低温での相転移の微視的機構を解明するのに必要な基礎的な物性はまだ十分明らかにされているとは言えない。特に磁化特性の詳細は明らかにされていない。本研究では混晶系 λ -(BEDT-TSF) $_2$ Fe $_x$ Ga1- $_x$ Cl4系($_x$ =0.40、0.45)の低温の磁化特性を詳しく測り、この物質の基底状態と相転移の微視的な機構に関する新たな知見を得ることを目的とする。

[実験方法] 本研究では、λ-(BEDT-TSF)₂Fe_xGa_{1-x}Cl₄の低温 高磁場での磁化特性の測定するために、³He クライオスタット と³He温度で動作するファラデー法による磁化測定セルを製 作した(図 1)。また、低磁場域ではSQUID磁化測定装置で詳 細に磁化を測定した。単結晶試料は理学研究科の低次元量子 物理研究室(豊田直樹教授)から提供していただいた。

[結果と考察] 図 2 に 0.5Kでの λ -(BEDT-TSF) $_2$ Fe $_x$ Ga1- $_x$ Cl4 (x=0.45) の磁化の結果を示す。磁場は容易軸であるc軸の向きにかけられている。6kOe近傍の磁化の折れ曲がりはスピンフロップによるものである (H_{SF})。10kOe付近からは磁化の増大が緩やかになり、飽和していく。50kOe付近から磁化に



亮

図1 断熱真空容器内部

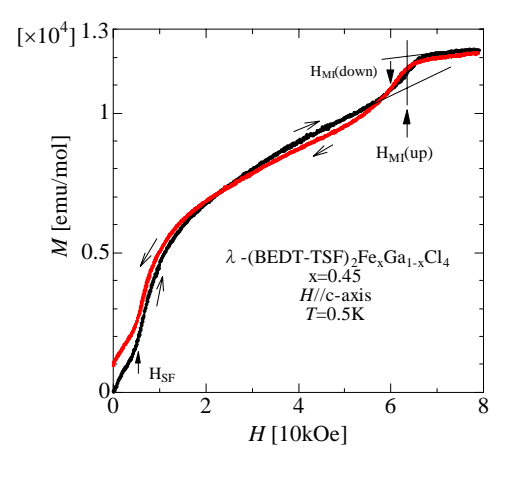


図 2 0.5Kでの λ -(BEDT-TSF) $_2$ Fe $_x$ Ga $_{1-x}$ Cl $_4$ (x=0.45) の磁化の磁場変化.

折れ曲がりがみえ、 $50kOe\sim 60kOe$ の磁場範囲で磁化が急激に増大して肩を持つ。この肩は反強磁性絶縁体 - 常磁性超 伝 導 転 移 点 H_{MI} に 対 応 す る と 考 え ら れ る 。 λ -(BEDT-TSF) $_2Fe_xGa_{1-x}Cl_4$ (x=0.40) でも同様の磁化の肩が確認できた。

図 3 は磁化から推察される λ -(BEDT-TSF)₂Fe_xGa_{1-x}Cl₄ (x=0.40、0.45) の低温のスピン状態の模式図である。3d 電子間の距離は大きいため直接の相互作用は無視できると考えられている。従って、 π 電子を媒介にして 3d 電子のスピン間に反強磁性相互作用が働くと考える。6 k Oe 近傍でスピンフロップが起り、 π 電子と 3d 電子は反強磁性的な強結合状態をたもったままキャントする。50kOe~60kOe で π 電子と 3d 電子の反強磁性的な強結合状態が壊れて π 電子は遍歴し、3d 電子は常磁性状態になる。

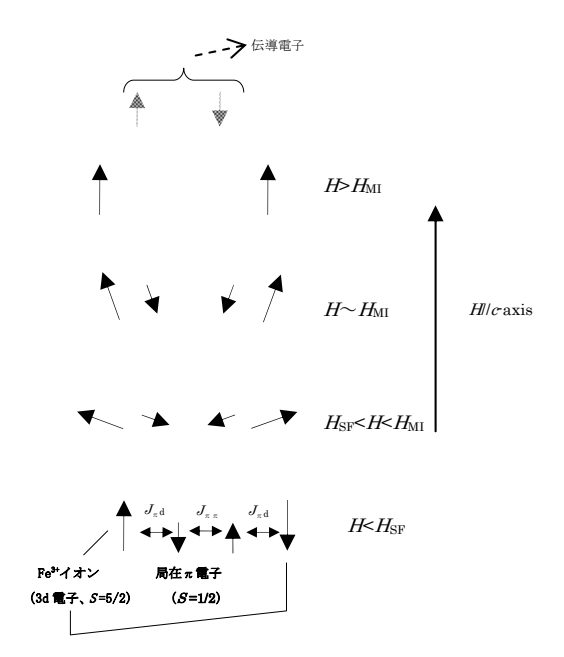


図3 π電子と3d電子のスピンの状態の模式図.

図 4 に磁化測定によりで得られた λ -(BEDT-TSF)₂Fe_xGa_{1-x}Cl₄ (x=0.45) $H \parallel c$ -axisの低温での温度 - 磁場相図を示す。本研究で得られた磁化の結果は図中に大形の記号を用いて示されている。図 4 には

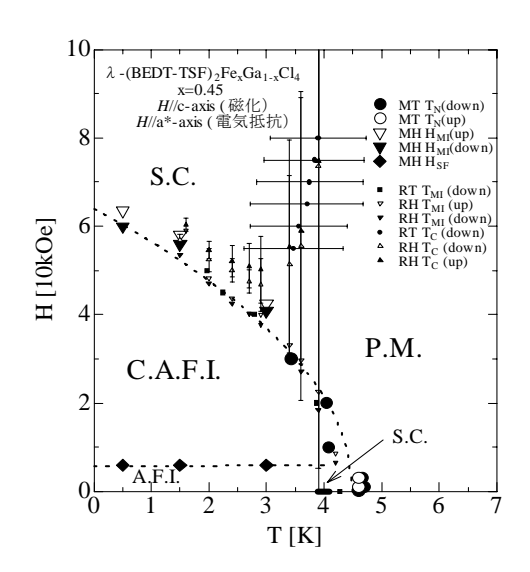


図 4 磁化測定によって得られた、λ-(BEDT-TSF)₂Fe_xGa_{1-x}Cl₄ (x=0.45) *H*//*c*-axis の温度-磁場相図。P.M.はPara-magnetism Metal、A.F.I.はAnti Ferro-magnetism Insulator、C.A.F.I.は Canted Anti Ferro-magnetism Insulator、の略。*H*//*a**-axisでの電気抵抗のデータも合わせて載せてある[1].

桑原らによって電気抵抗の測定から得られた相図 (H//a*-axis) [1]を小型の記号で合わせて載せてある。本研究で得られた磁化の結果と、電気抵抗による結果は、良く一致している[2]。低磁場の 4.2 K近傍にも超伝導相があり、SQUIDによる磁化測定で確認した。超伝導相と反強磁性絶縁体相の相境界は、温度の上げ下げ、磁場の上げ下げで転移点が変わり、一次転移的である。

[まとめ] 本研究では準二次元 π 電子系 λ -(BEDT-TSF)₂Fe_xGa_{1-x}Cl₄ (x=0.40、0.45) の低温の磁化特性を調べ、その温度・磁場相図を明らかにした。これらの物質の磁化過程は、 π 電子が絶縁転移点で局在化して (S =1/2)、Fe³⁺イオンの 3d電子 (S3d=5/2) と反強磁性的な結合を起こし、反強磁性秩序相を形成するという描象を指示するものである。また、ここでは触れなかったが、 λ -(BEDT-TSF)₂Fe_xGa_{1-x}Cl₄ (x=0.40) の超伝導相では層状構造を反映した異方的な反磁性が観測された。

註釈

- [1] 桑原隆比古ら(東北大学理学研究科物理学専攻低次元量子物理研究室)によって行われた電気抵抗の測定.
- [2] λ -(BEDT-TSF)₂Fe_xGa_{1-x}Cl₄は準二次元系でac面内で磁場の方向をまわしても磁気相図はほとんど変化しない. c軸と a*軸は両方ともac伝導面内にある.